

Noch etwas $\in \Pi$:

$$\varepsilon = n^2, \text{ also } \varepsilon' + i\varepsilon'' = (n' + i\kappa)^2$$

Brechungsindex
↓

↑ Extinktionskoeff.

$$\Rightarrow \varepsilon' = n'^2 - \kappa^2 \quad \varepsilon'' = 2n'\kappa$$

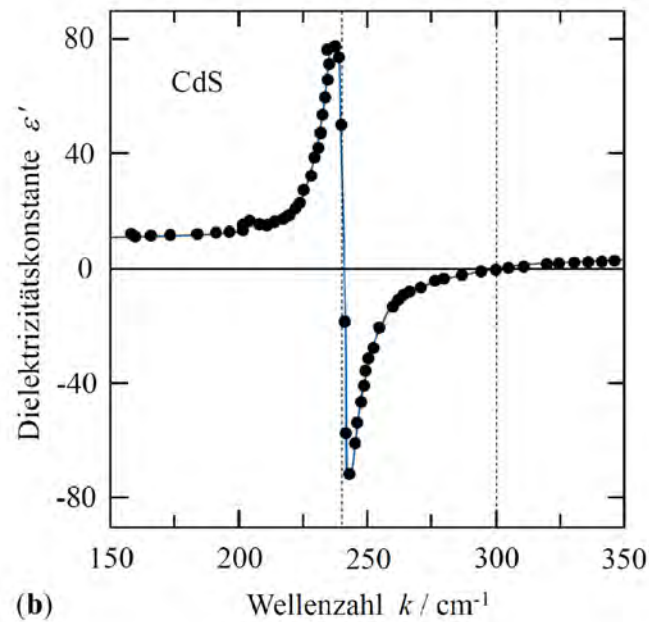
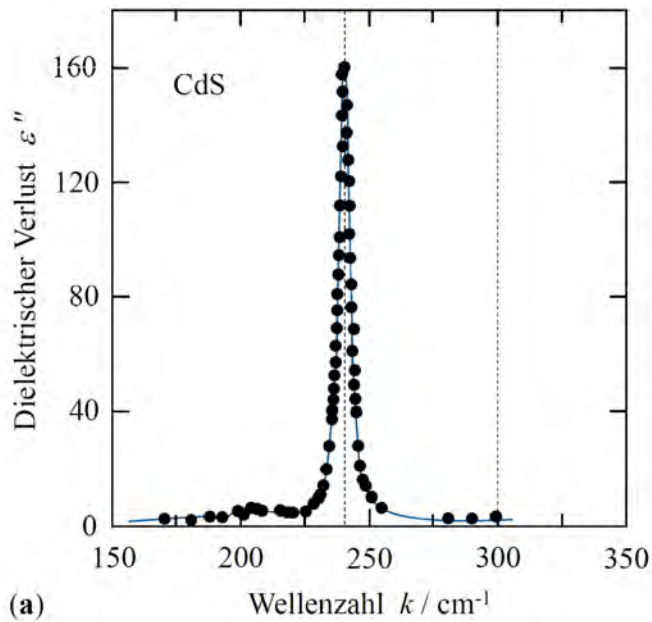
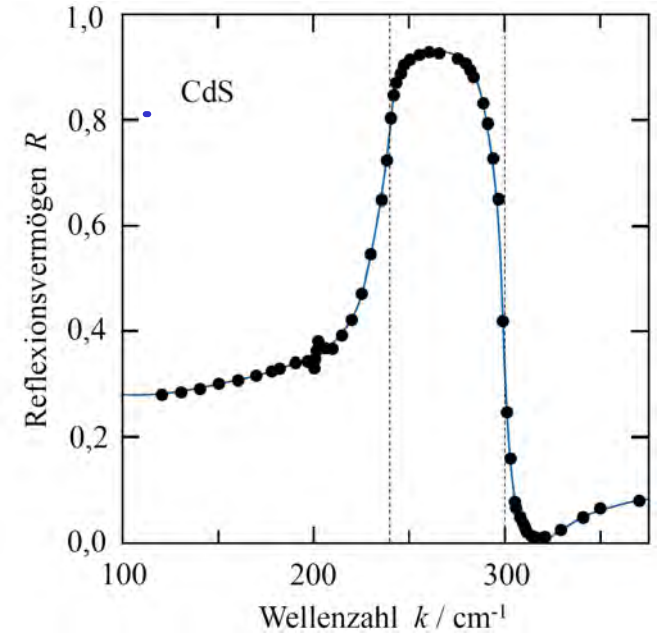
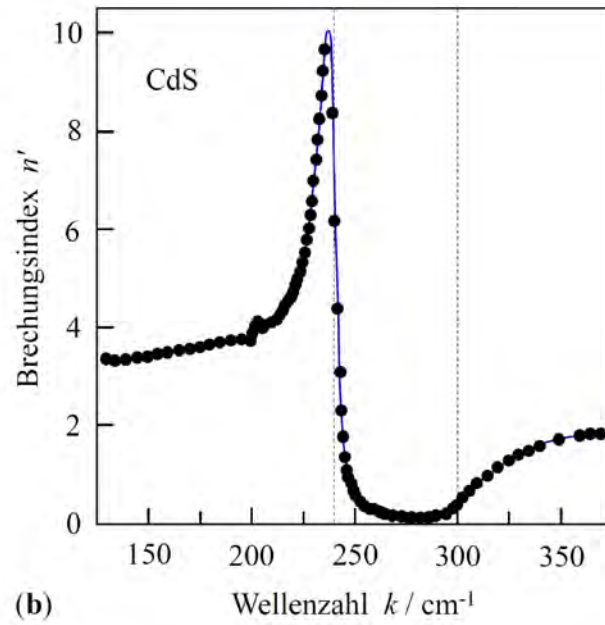
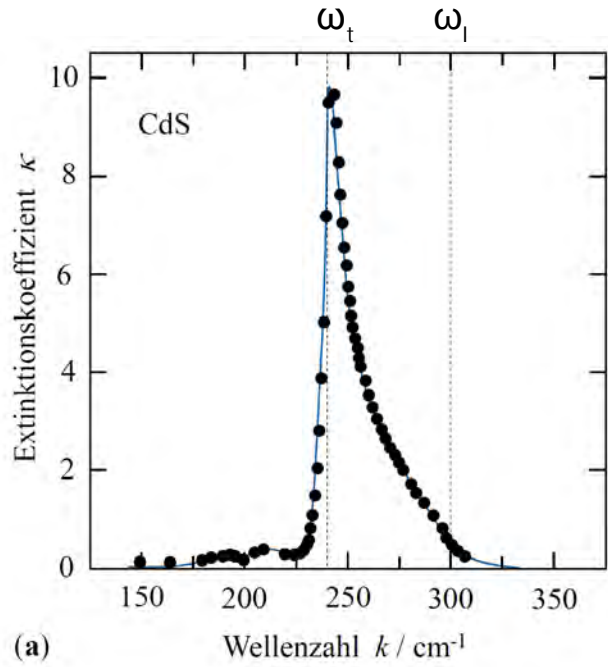
Messungen von n' , κ sind in Resonanznähe schwierig

"Trick": Reflektivität messen, z.B. bei \perp -Einfall.

$$R = \left| \frac{\sqrt{\varepsilon} - 1}{\sqrt{\varepsilon} + 1} \right|^2 = \frac{(n' - 1)^2 + \kappa^2}{(n' + 1)^2 + \kappa^2}$$

(und Kramers-Kronig nutzen, die $\varepsilon' \& \varepsilon''$ bzw. $n' \& \kappa$ verbinden)

CdS: ϵ' , ϵ'' , n , κ , Reflektivität



Hunklinger 13.10/1

Gestrichnet: ω_t & ω_l

Orientierungspolarisation

Ausrichtung perm. Dipole in ext. Feld: $\vec{E}_{\text{pot}} = -\vec{p} \vec{E}_{\text{ext}}$
dem entgegen wirken $k_B T \approx$ Kristallfeld

Ohne Kristallfeld: $\langle \cos^2 \vartheta \rangle \rightarrow \frac{1}{3}$
 $\Rightarrow \chi_{\text{Dip}} = \frac{C}{T}$ mit $C = n p_{\text{Dip}}^2 \frac{1}{3 \epsilon_0 k_B}$

Mit k.-feld, z.B. 2 Vorzugsrichtungen

$\hat{=}$ Spin $\frac{1}{2}$ -System

$$P_{\text{Dip}} = n p_{\text{Dip}} \tanh\left(\frac{p_{\text{Dip}} E_{\text{ext}}}{k_B T}\right)$$

lin. Näherung bei gr. T: $\chi_{\text{Dip}} = \frac{C}{T}$; $C = n p_{\text{Dip}}^2 \frac{1}{3 \epsilon_0 k_B}$

Frequenzabhängigkeit $\chi_{\text{Dip}}(\omega)$

$$E = E_0 e^{-i\omega t}$$

$$\frac{dP_{\text{Dip}}}{dt} = \frac{P_{\text{Dip}}(0) e^{-i\omega t} - P_{\text{Dip}}(\omega)}{\tau}$$

↑ stat. Orientierungspol.; wäre $\tau=0$ hieße Antwort $P(0)e^{-i\omega t}$
← tatsächl. Antwort bei ω

(Pulsanregung bei $t=0 \leadsto 1 - e^{-t/\tau}$ -Verlauf)

Ansatz: $P_{\text{Dip}}(\omega) = \left(\chi_{\text{Dip}}^{\text{Re}}(\omega) + i \chi_{\text{Dip}}^{\text{Im}}(\omega) \right) \epsilon_0 E_0 e^{-i\omega t}$

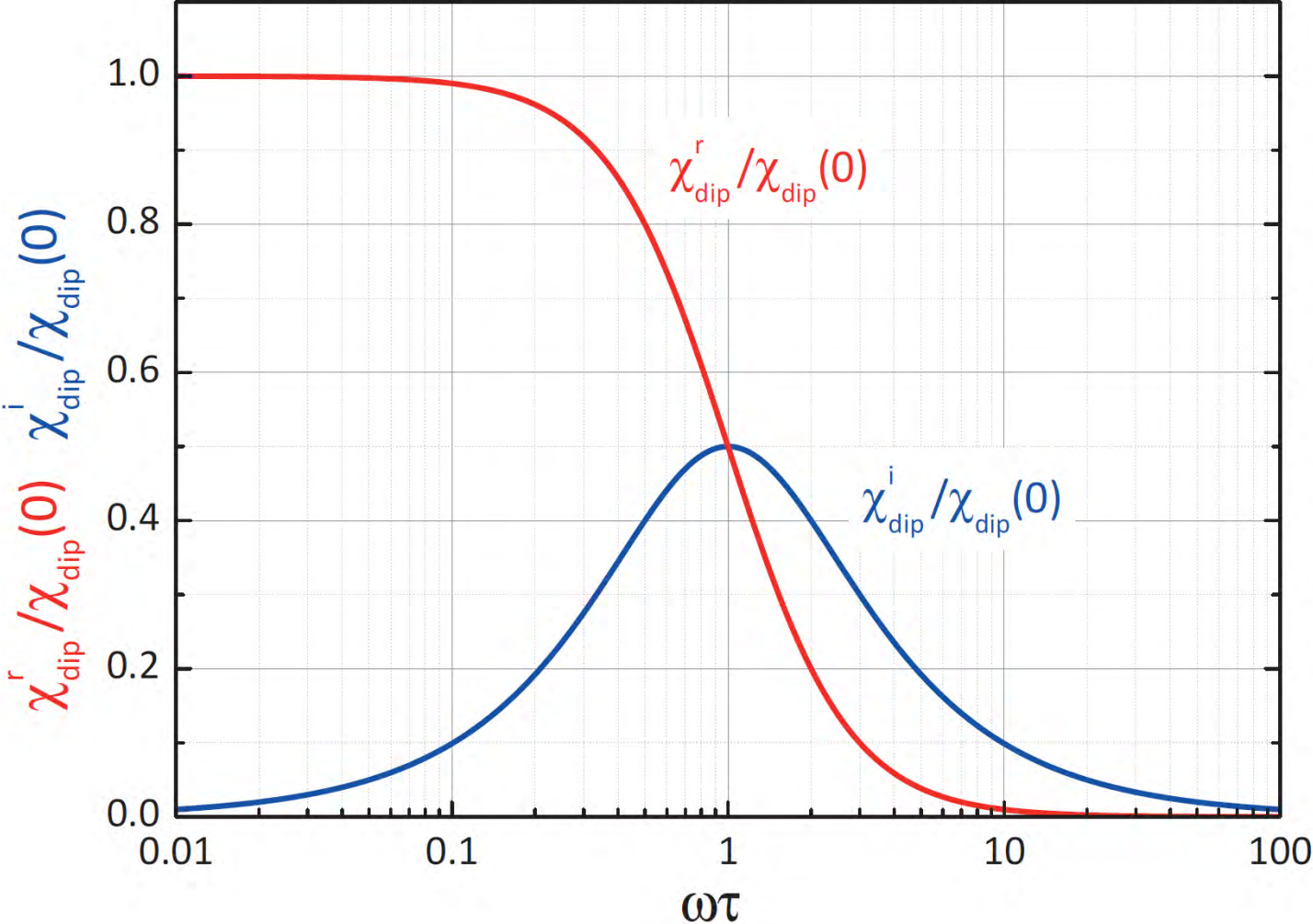
$$\chi_{\text{Dip}}^{\text{Re}} = \frac{1}{1 + \omega^2 \tau^2} \chi_{\text{Dip}}(0)$$

$$\chi_{\text{Dip}}^{\text{Im}} = \frac{\omega \tau}{1 + \omega^2 \tau^2} \chi_{\text{Dip}}(0)$$

Elektrische Suszeptibilität durch Orientierungspolarisation

Real- und Imaginärteil

(Groß-Marx)



Abschätzung der Relaxationszeit

$$\text{Rate } \frac{1}{\tau} = \frac{1}{\tau_0} \exp\left(-\frac{E_A}{k_B T}\right) \approx 300 \text{ mer}$$

$$\uparrow \text{ fache } \approx 10^{14} \frac{1}{s}$$

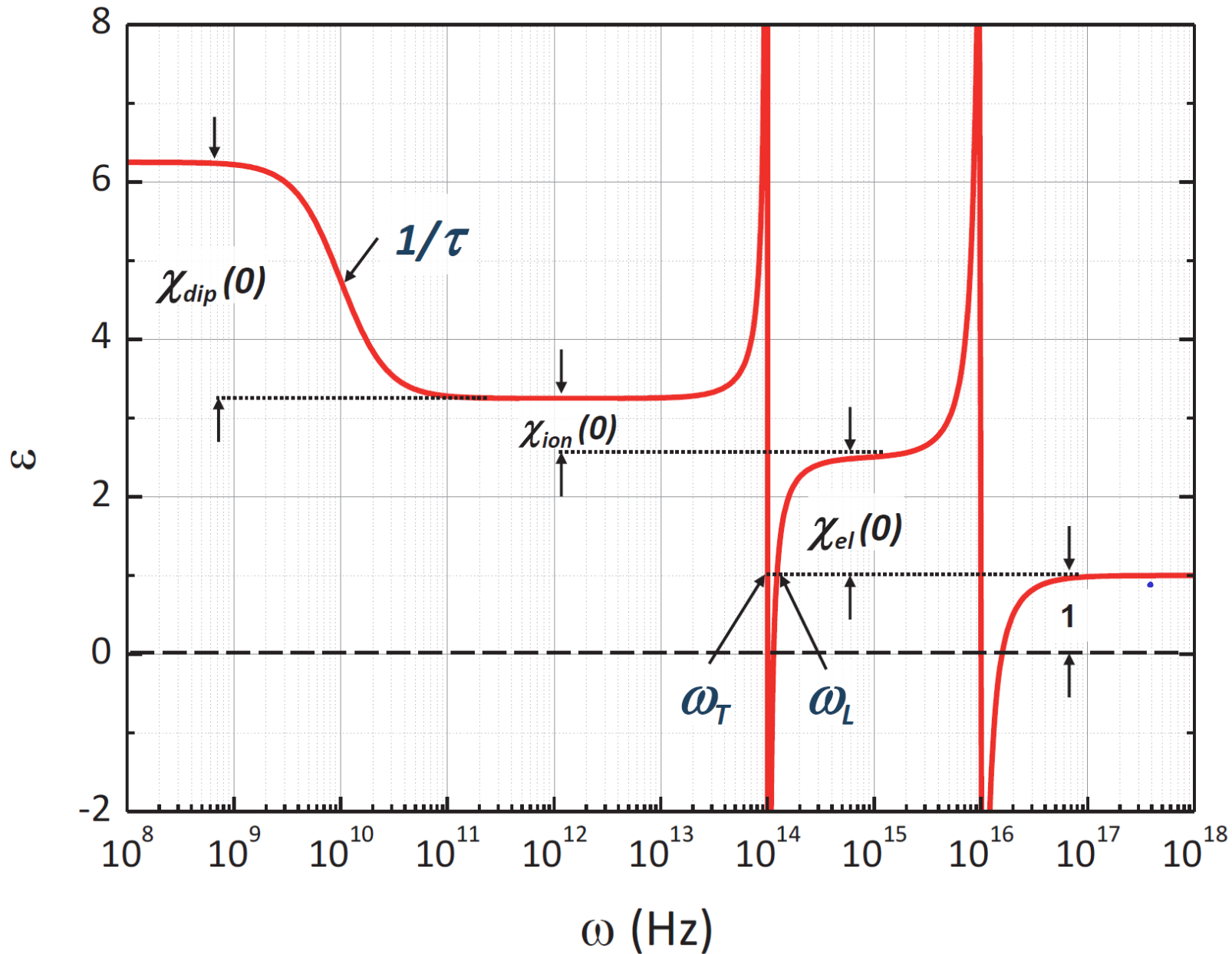
$$\Rightarrow \frac{1}{\tau} = 10^9 \text{ s}^{-1}$$

$$\text{übliche Werte } \frac{1}{\tau} = 10^8 \dots 10^{10} \text{ s}^{-1}$$

Dielektrische Funktion eines paraelektrischen Ionenkristalls

(Groß-Marx)

$$1/\tau = 10^{10} \text{ Hz}, \omega_T = 10^{14} \text{ Hz}, \omega_L = 1.5 \times 10^{14} \text{ Hz}, \omega_{ik} = 10^{16} \text{ Hz}, \chi_{dip}(0) = 3 \epsilon_{stat} = 1.5$$



Ferroelektrizität: analog zu FM, oberhalb T_c paraelektrisch

Pyroelektrizität: spontane Polarisation meist durch Oberflächenladungen kompensiert. Desorbieren bei Hitze

Mechanismen:

(1) Verschiebung zweier Untergitter gegeneinander BaTiO_3 (z.B.)

(2) Ordnungs-Unordnungsübergang

z.B. KH_2PO_4 : H^+ statist. verteilt bei $T > T_c$, darunter zw. den PO_4^- -Ionen

Polarisationskatastrophe

Clausius-Mossotti:
$$\epsilon = \frac{1 + \frac{2}{3} \sum n_i \alpha_i}{1 - \frac{1}{3} \sum n_i \alpha_i}$$
 $i = \text{Ionenarten}$
Nenner \rightarrow Null, falls α_i, n_i groß

Idee: lokales Feld reduziert Rückstellkraft bei Auslenkung

Interbandübergänge

Erinnere HL!

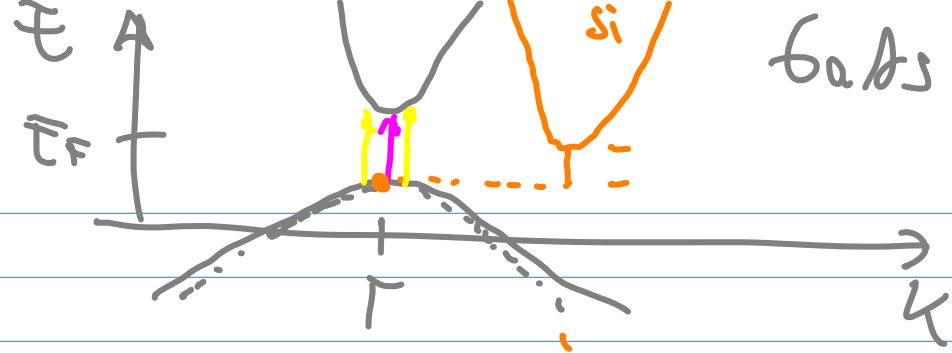
direkt, indirekt ; $k_{\text{photon}} \approx 0 \rightarrow$ senkrecht

\Rightarrow hohe Übergangswahrscheinlichkeit, wenn Bänder parallel

\Rightarrow kombinierte **joint** Zustandsdichte relevant

$$D_{if}(\hbar\omega) = \frac{1}{(2\pi)^3} \int_{\hbar\omega = E_f - E_i} dS_{\hbar\omega} \frac{1}{|\vec{\nabla}_{\vec{k}}(E_f(\vec{k}) - E_i(\vec{k}))|}$$

(und Übergangsmatrixelemente)



Excitonen

Interbandübergang erzeugt e & h ; gebundene Zustände

↳ besonders bei Bandextrema

Excitonen

Excitonen diffundieren herum

Stark gebundene z.B. in Molekül-, Ionen-, Edelgaskristallen

$E \sim 1\text{eV}$ Frenkel-Excitonen

Schwach gebundene z.B. in HL

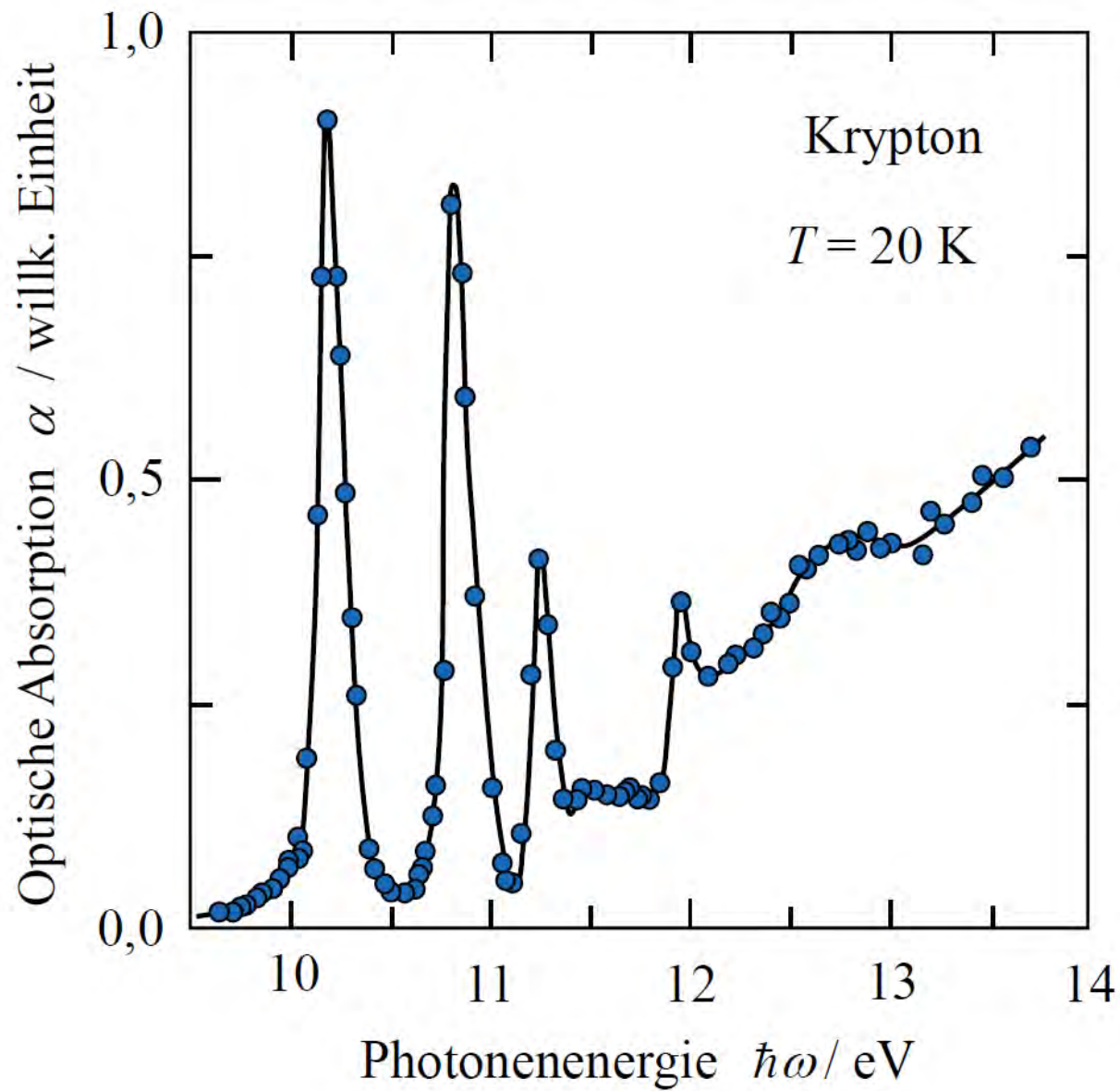
$E \sim 10\text{meV}$ Mott-Wannier-E.

Energien in H-Modell:

$$E_{\nu} = E_g - \frac{\mu^* e^4}{32\pi^2 \hbar^2 \epsilon_r^2 \epsilon_0^2} \frac{1}{\nu^2} + \frac{\hbar^2 k^2}{2(m_n^* + m_p^*)}$$

Translation

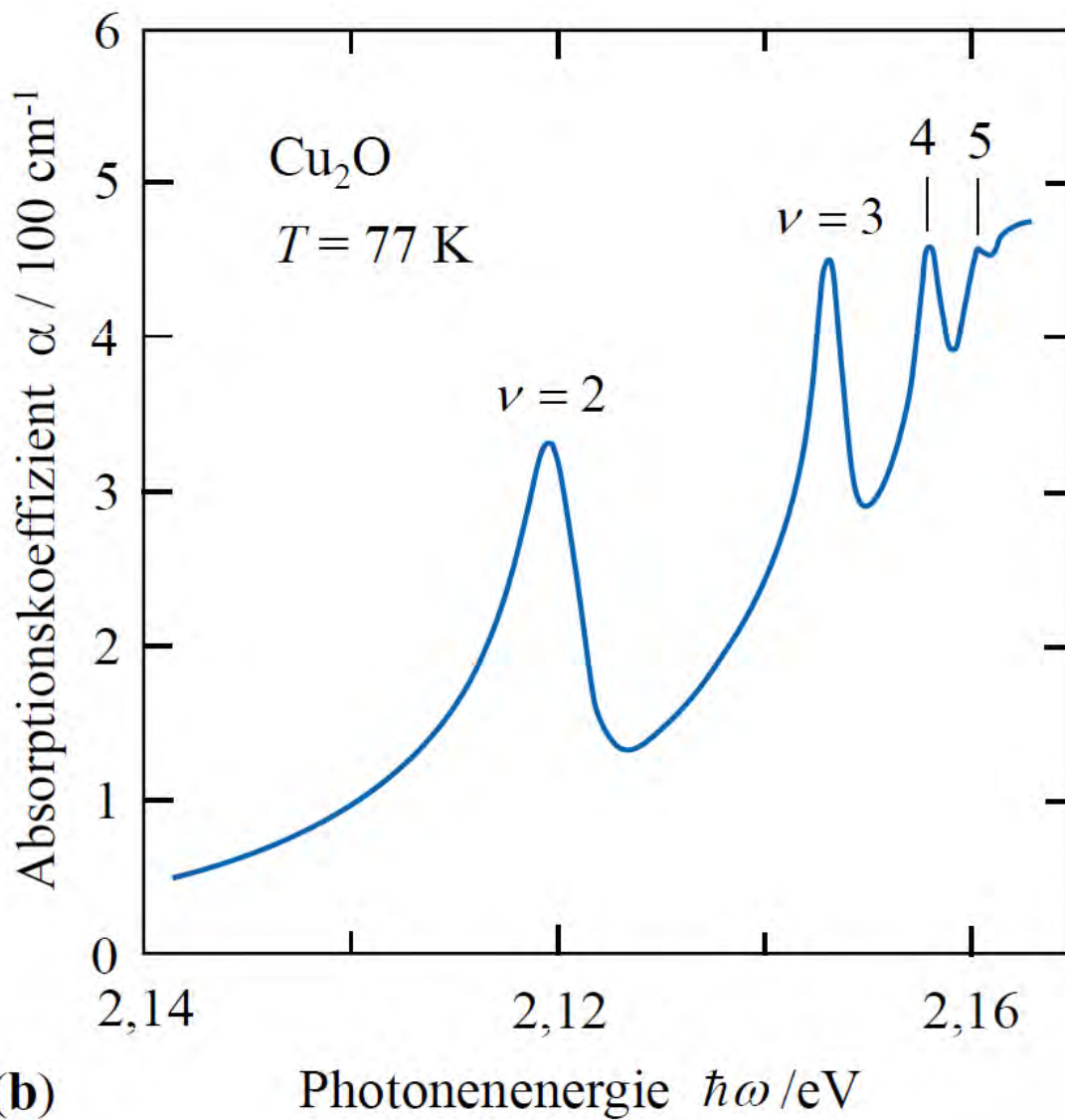
$$\mu^* = m_n^* + m_p^*$$



Frenkel Exzitonen

Absorption von Kr

Mott-Wannier Exzitonen



Absorption von Cu₂O

Hunklinger Bild 13.24: Optische Absorption von Cu₂O bei 77K als Funktion der eingestrahlten Photonenenergie. Der Fundamentalabsorption ist eine Reihe von Exzitonenlinien vorgelagert. Nach P.W. Baumeister, Phys. Rev. 121, 359 (1961).

Dielektrische Fkt. eines FEG

EM Welle mit $q \approx 0$ ergibt Bewegungsgl. für e^- :

$$m^* \ddot{x} + m^* \frac{1}{\tau} \dot{x} = -e \vec{E}_0 \exp(-i\omega t)$$

keine Rückstellkraft, aber Dämpfung ($\hat{=}$ Stöße)

$$\text{Lösung: } x(t) = \frac{e}{m^*} \frac{1}{\omega} \frac{1}{\omega + i/\tau} E_0 \exp(-i\omega t)$$

damit verbundene Polarisation:

$$P_L(t) = -e n_V x(t) \quad (\text{Dichte Valenzelektronen})$$

Beitrag zur Suszeptibilität:

$$\chi_L(\omega) = \frac{P_L}{\epsilon_0 E} = -\frac{e^2 n_V}{\epsilon_0 m^*} \frac{1}{\omega} \frac{1}{\omega + i/\tau}$$

Rümpfe

auch andere \bar{e} sind an ε beteiligt:

$$\varepsilon = 1 + \chi_e + \chi_L = \varepsilon_{el} + \chi_L \quad (\varepsilon_{el} \text{ e.B. im Groß-Parax})$$

$$\Rightarrow \varepsilon = \varepsilon_{el} \left[1 - \frac{1}{\varepsilon_{el}} \frac{e^2 n_V}{\varepsilon_0 m^*} \frac{1}{\omega} \frac{1}{\omega + i/\tau} \right]$$

mit Def. $\omega_p = \sqrt{\frac{e^2 n_V}{\varepsilon_0 \varepsilon_{el} m^*}} = \sqrt{\frac{\sigma(\omega)}{\varepsilon_0 \varepsilon_{el} \tau}}$

$$\sigma = n \frac{e^2}{m^*} \tau$$

folgt:

$$\varepsilon = \varepsilon_{el}(\omega) \left[1 - (\omega_p \tau)^2 \frac{1 - i/\omega\tau}{1 + (\omega\tau)^2} \right]$$

ω_p : Metalle UV

HL z.B. 10^{13} Hz

- $\omega \ll \frac{1}{\tau} \ll \omega_p$: $\text{Re}(\epsilon) < 0$: stark reflektierend

mit Rechnerei (\rightarrow Gross) $R \approx 1 - 2 \sqrt{\frac{2\epsilon_0 \omega}{\sigma(\omega)}}$

Hagen-Rubens-Relation

Eindringtiefe $\delta \approx \sqrt{\frac{2}{\sigma(\omega) \mu_0 \omega}}$ skin depth

- $\frac{1}{\tau} \ll \omega \ll \omega_p$: Relaxationsbereich, $(\omega\tau)^2$ wird dominierend

$$\Rightarrow \text{Re}(\epsilon) = \epsilon_{\infty} \left[1 - \left(\frac{\omega_p}{\omega} \right)^2 \right]$$

$$\text{Im}(\epsilon) = \epsilon_{\infty} \left[1 - \left(\frac{\omega_p}{\omega} \right)^2 \right] \frac{1}{\omega\tau}$$

$$\Rightarrow \dots \Rightarrow \text{Absorption} \sim \frac{1}{\omega} \text{ und } \sim \sigma(\omega)$$

- $\omega_p \ll \omega$: $\epsilon > 0$ Reflektivität $\rightarrow 0$ bei $\omega \nearrow$

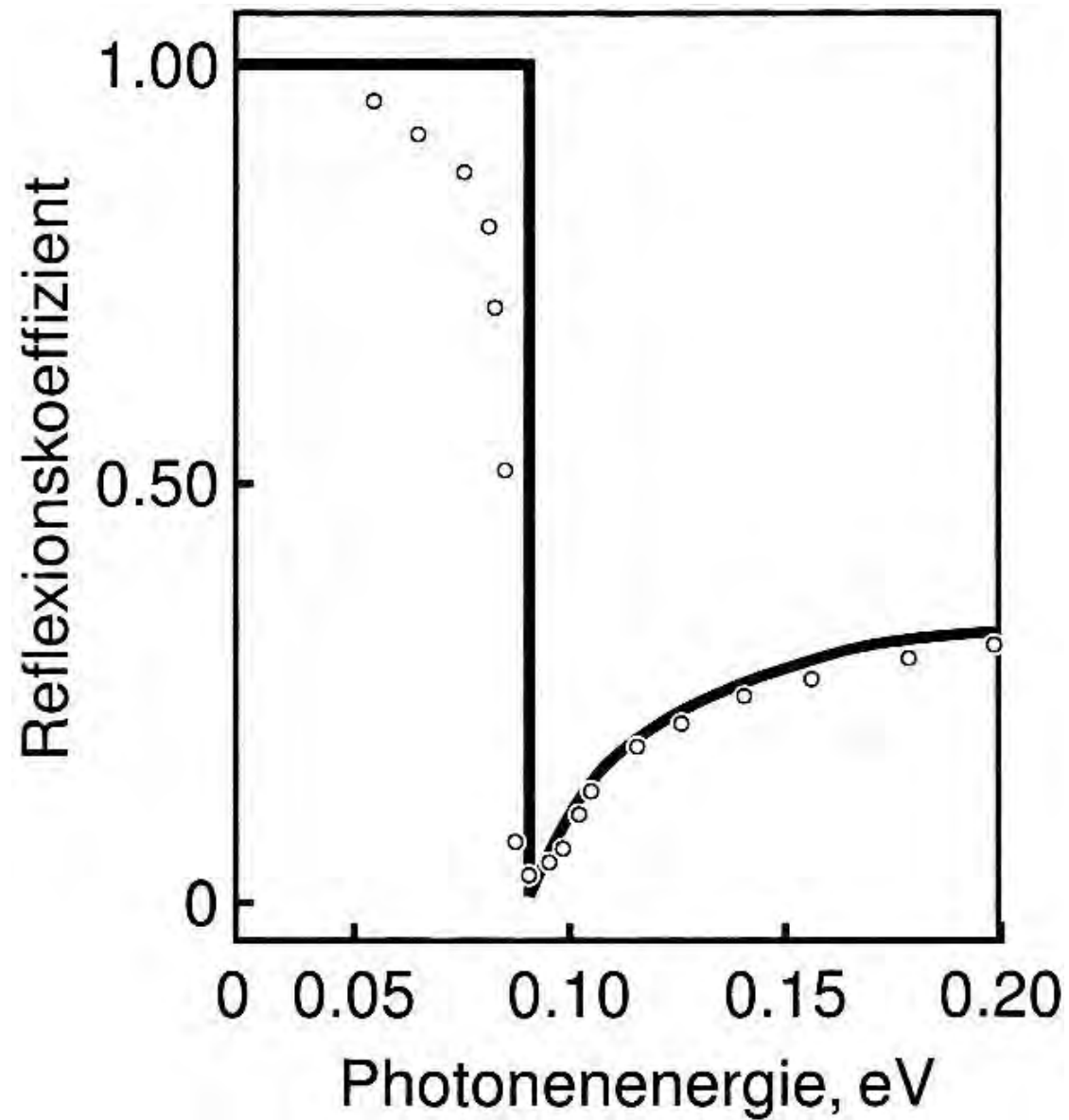
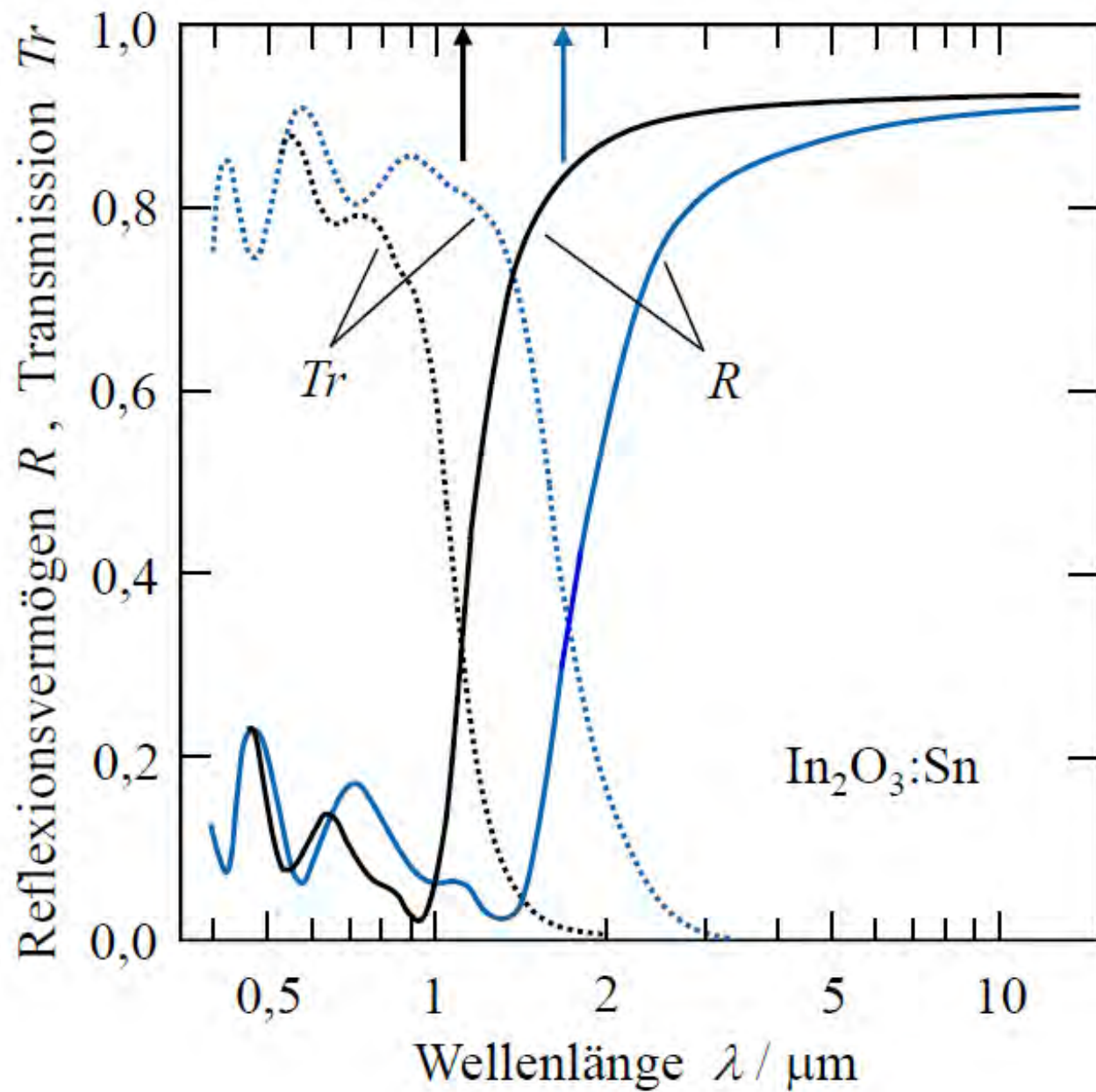


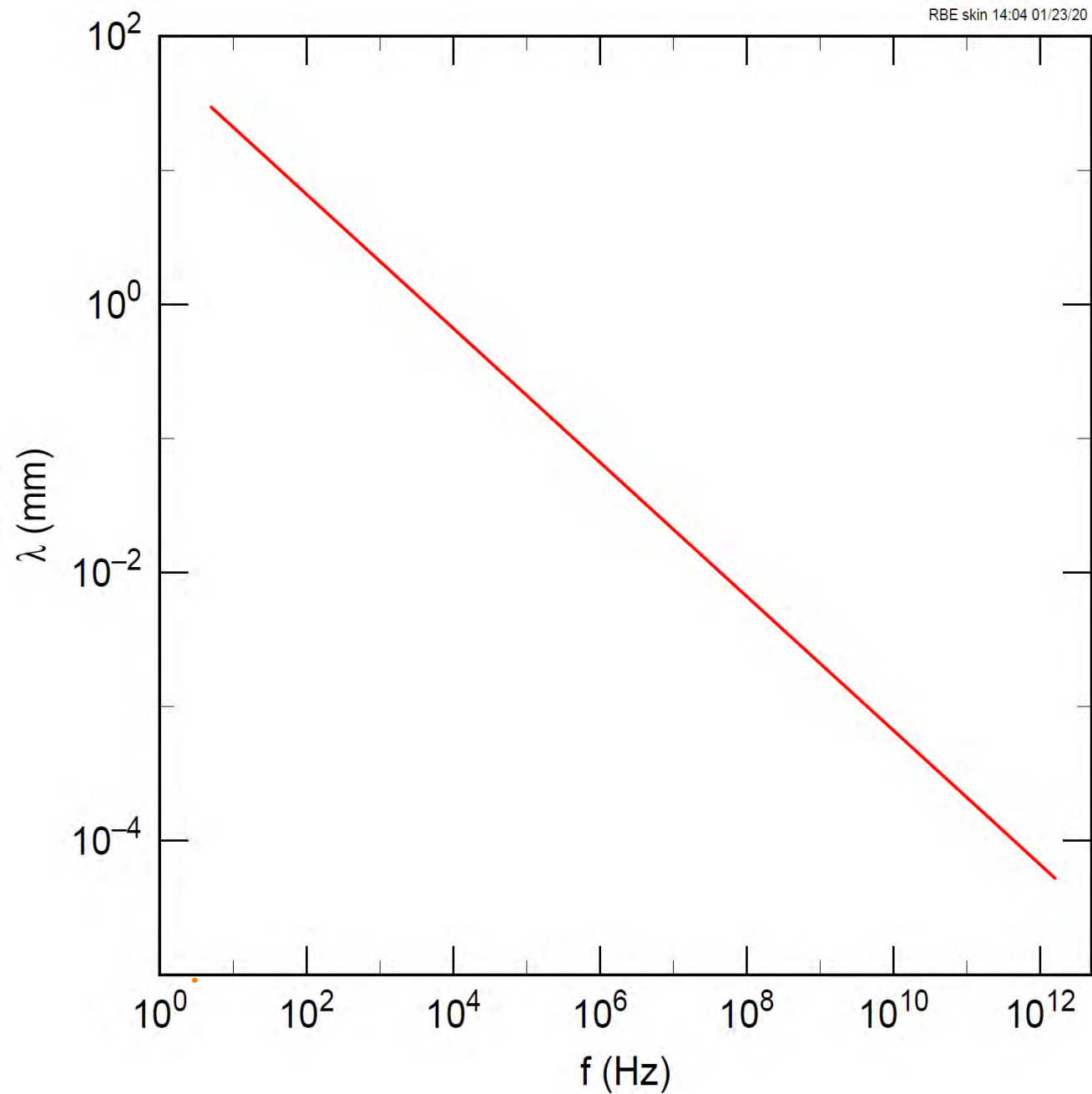
Bild 14.3: Reflexionskoeffizient von Indiumantimonid mit einer Elektronenkonzentration von $n = 4 \cdot 10^{18} \text{ cm}^{-3}$. (Nach J.N. Hodgson)



Reduktion von Strahlungswärme-
verlusten in Fenstern, Lampen

Transparente Elektrode, zB LCD

Hunklinger Bild 13.28: Transmission (Tr) und Reflexion (R) zweier 0,3 mm dicken In_2O_3 -Schichten (ITO) mit unterschiedlicher Sn-Dotierung. Pfeile kennzeichnen die Plasmawellenlängen. Wellen durch Dünnschichtinterferenzen verursacht. Nach G. Frank et al., Phys. Bl. 34, 106 (1978)



Skindepth of Cu

Skin Depth (1/e) of Cu

Transversale Plasmaschwingung

Plasmon-Polariton

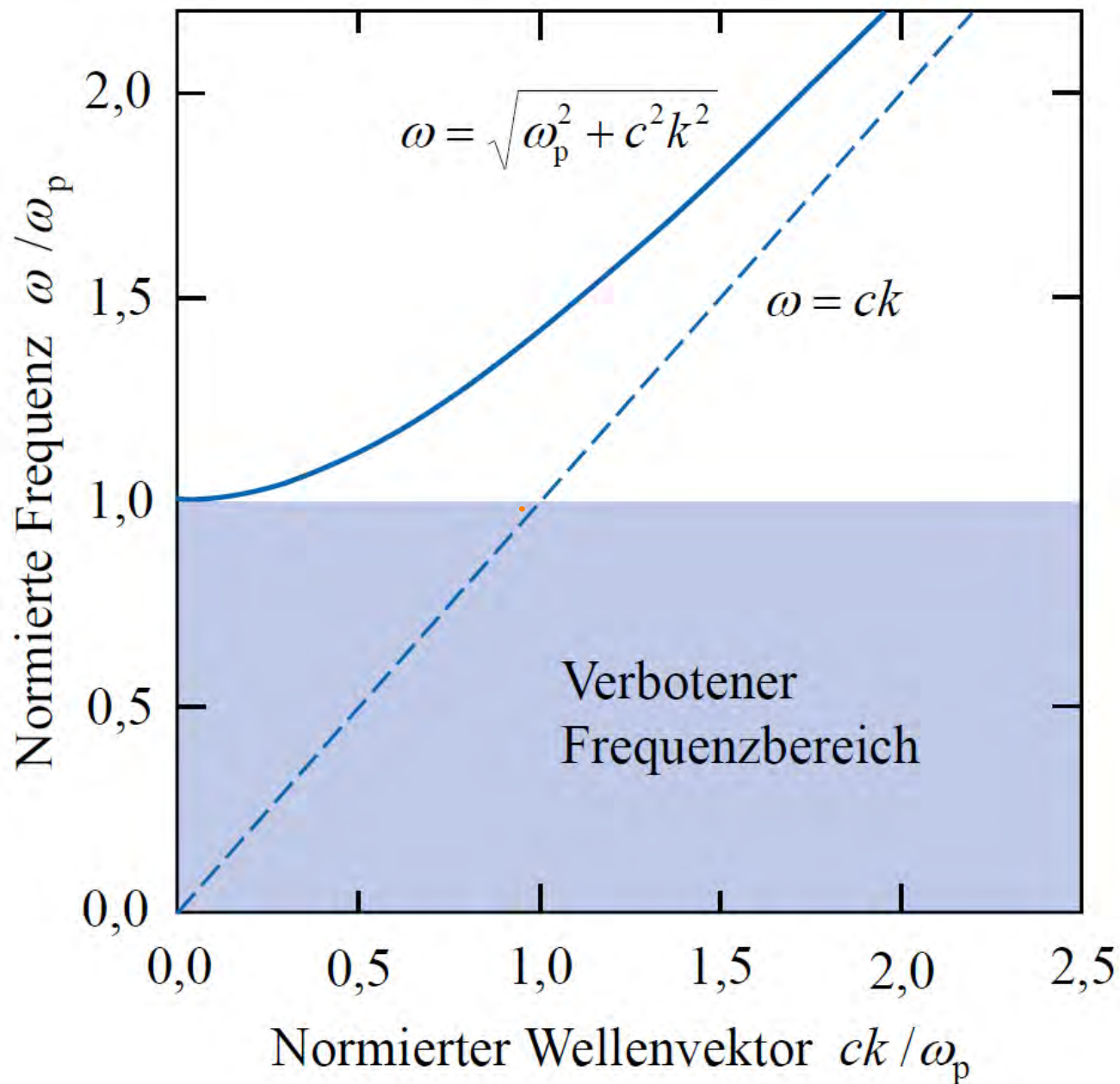
Kopplung mit Photon ändert Dispersion $\epsilon(\omega)$

Mit $\text{Re}(\epsilon) = \epsilon_{ee} \left(1 - \left(\frac{\omega_p}{\omega}\right)^2\right)$ und $\frac{\omega}{q} = \frac{c}{\sqrt{\epsilon}}$ $\Rightarrow q^2 = \epsilon \left(\frac{\omega}{c}\right)^2$
Metall · Licht

$$\Rightarrow q^2 = \epsilon_d \left[1 - \left(\frac{\omega_p}{\omega}\right)^2\right] \left(\frac{\omega}{c}\right)^2$$

$$\Rightarrow \omega^2 = \omega_p^2 + \frac{1}{\epsilon_d} (c q)^2$$

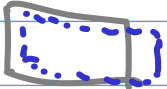
Plasmon-Polaritonen



Hunklinger Bild 13.25: Dispersion von Plasmon-Polaritonen im freien Elektronengas für $\epsilon_{\infty} = 1$. Unterhalb der Plasmafrequenz liegt ein verbotener Frequenzbereich, in dem sich elektromagnetische Wellen nicht ausbreiten.

Longitudinale Schwingung

Plasmon

FKI  $\ddot{u} + \omega_p^2 u = 0$

$$\omega_p^2 = \frac{ne^2}{\epsilon_0 \epsilon_\infty m^*}$$

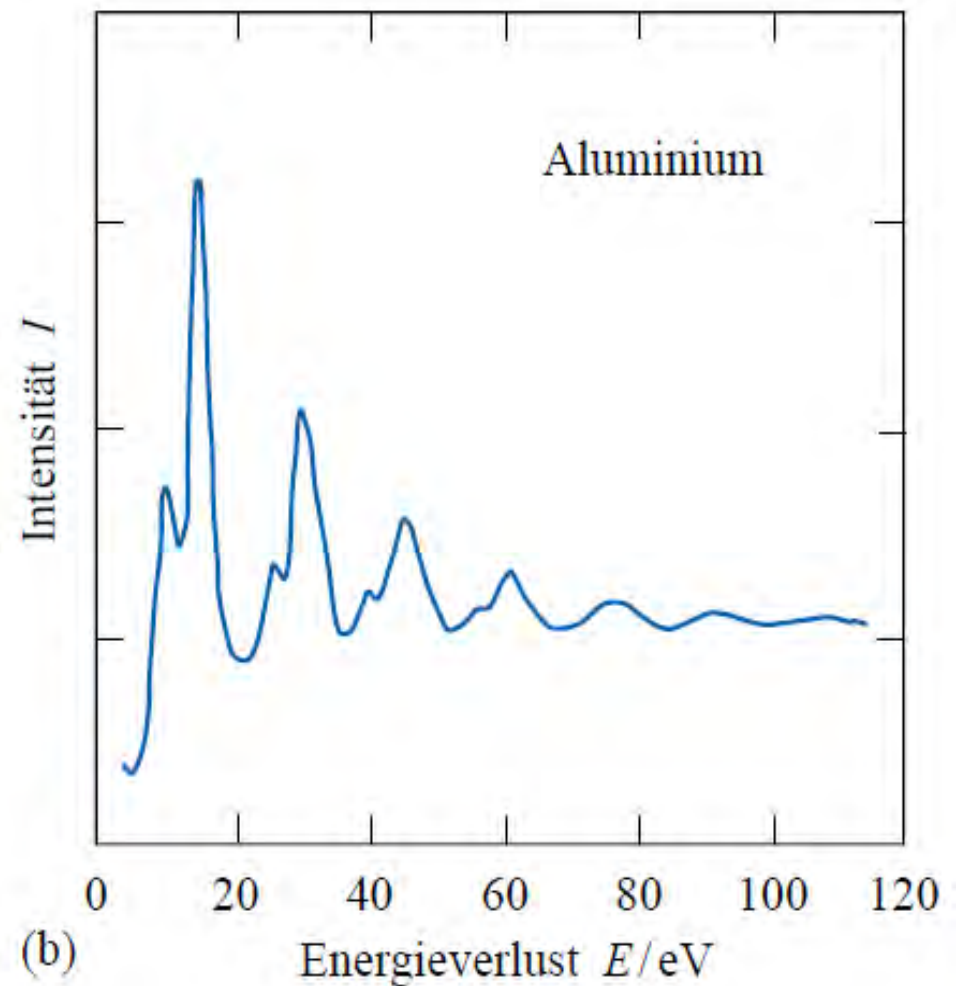
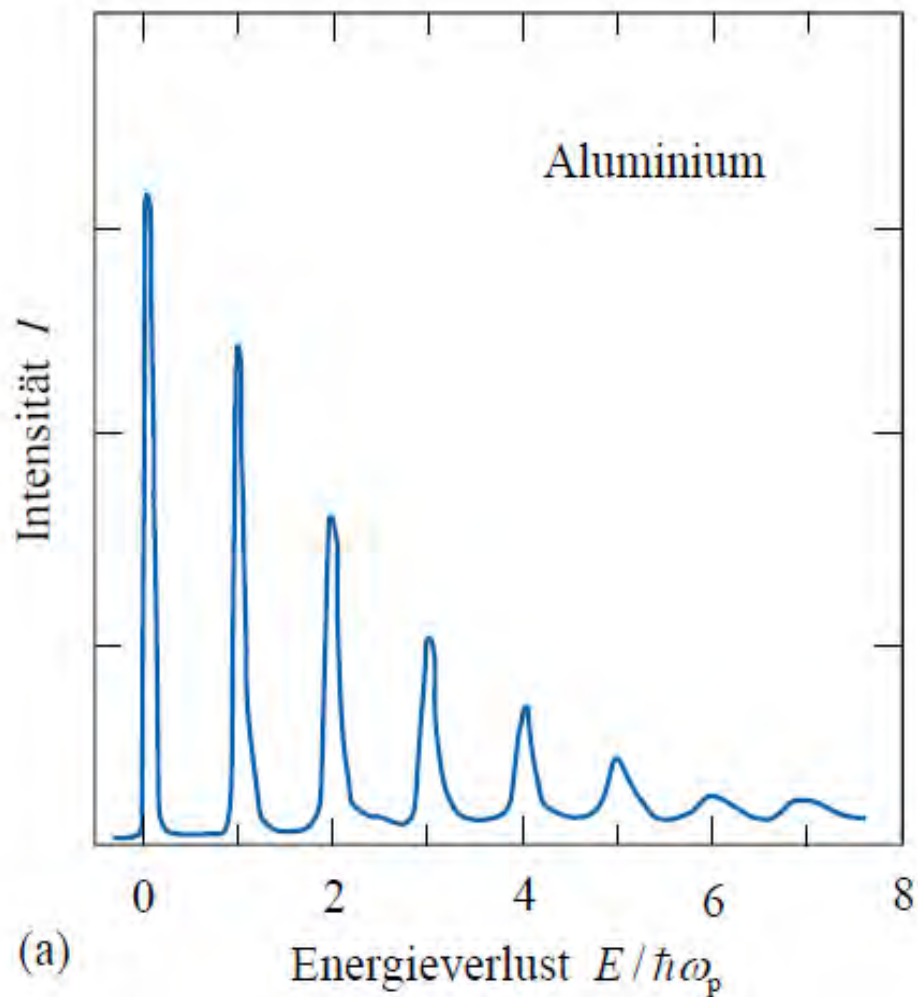
↑ gebundene e^-

Das war der Fall $k=0 \hat{=} \lambda \rightarrow \infty$

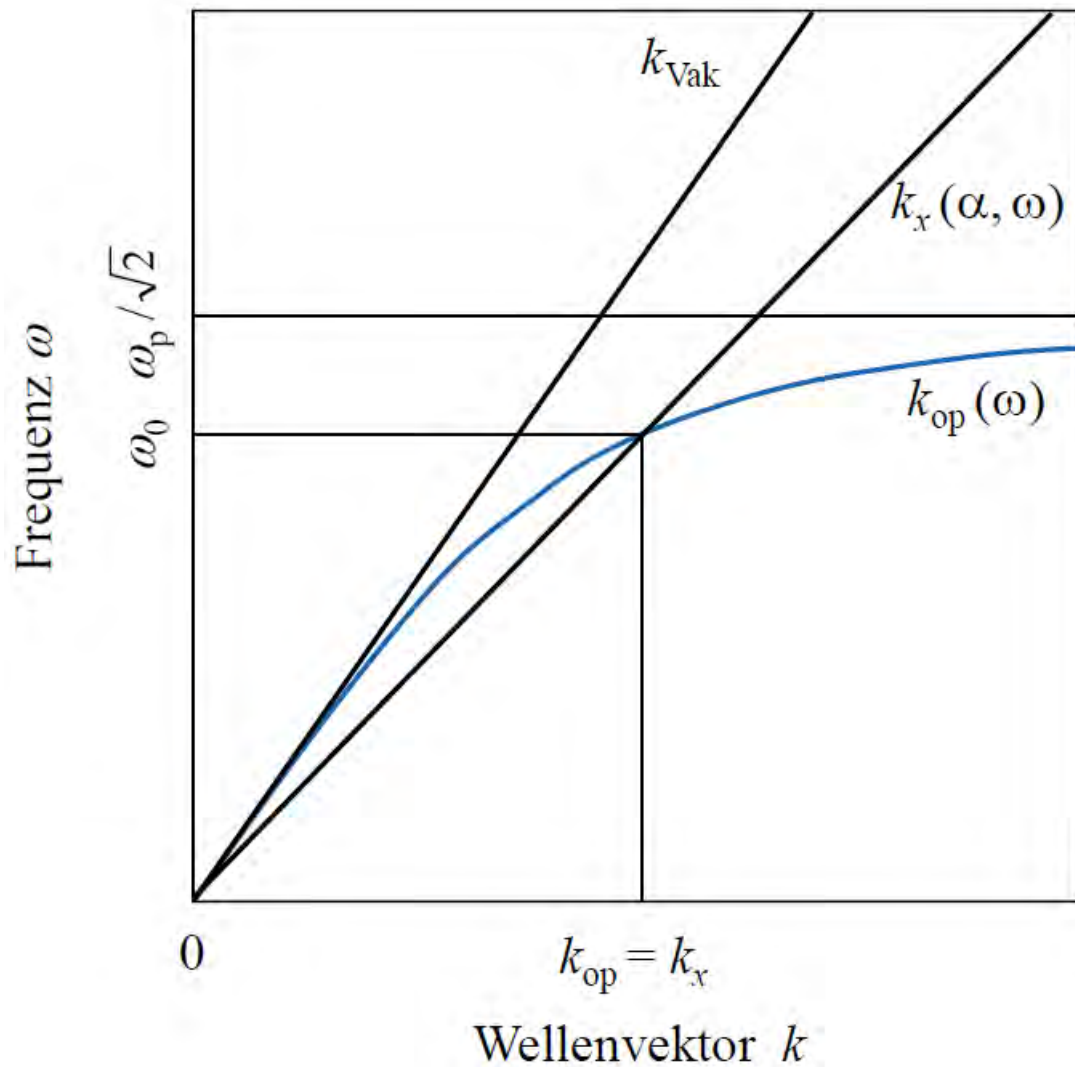
Falls $k \neq 0 \Rightarrow n(x)$ moduliert \Rightarrow höhere Rückstellkraft

$$\omega = \omega_p \left(1 + 0,3 \frac{v_F}{\omega_p^2} k^2 + \dots \right)$$

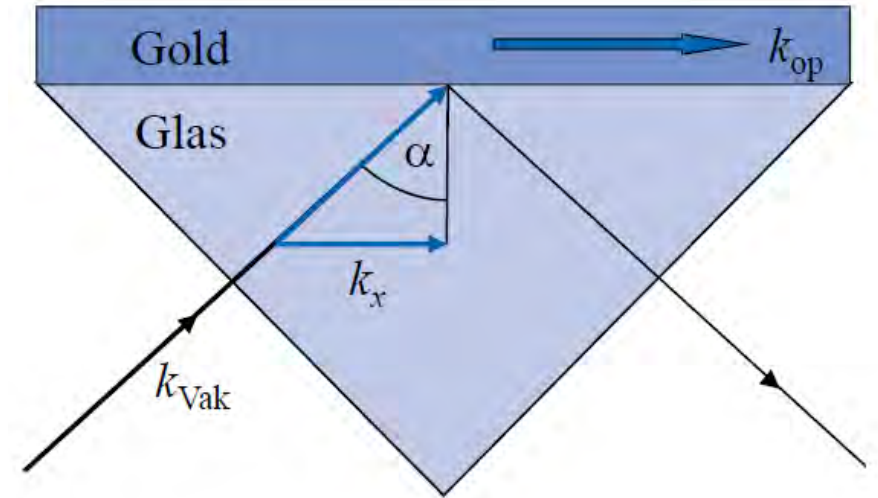
Volumen- und Oberflächenplasmonen



Hunklinger Bild 13.30: Energieverlust energiereicher Elektronen beim Durchgang durch dünne Aluminiumfolien. a) 20 keV-Elektronen. $\omega_p = 15,3$ eV. Nach L. Marton et al., Phys. Rev. 126, 182 (1962) b) 2 keV-Elektronen. Nach C.J. Powell und J.B. Swan, Phys. Rev. 115, 869 (1959)



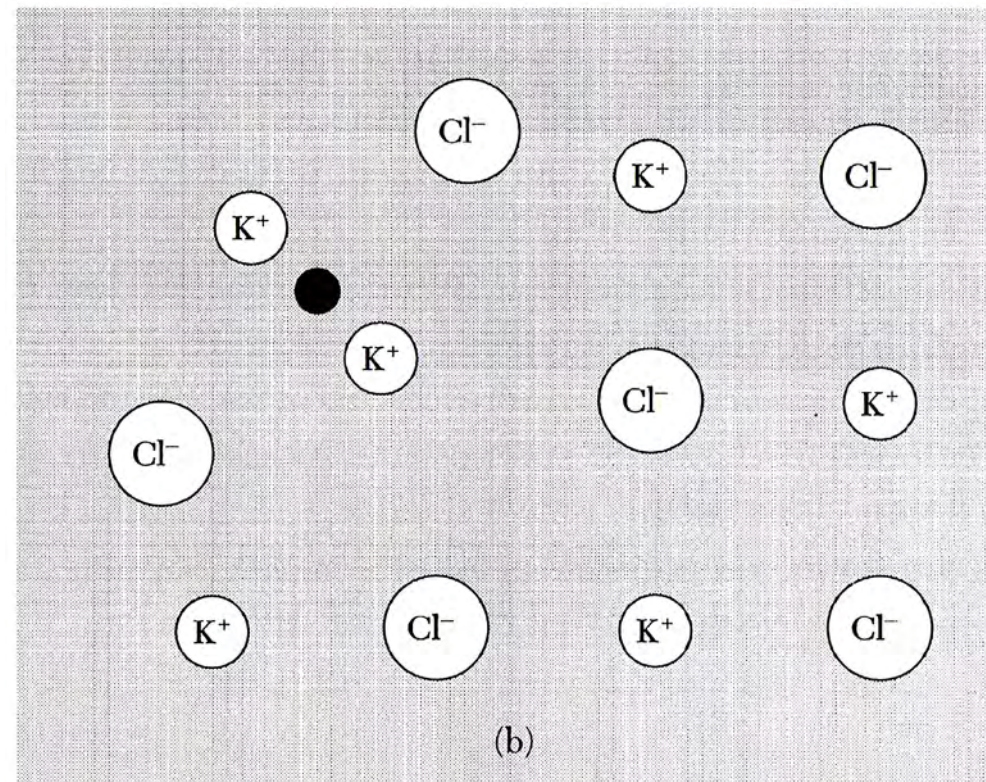
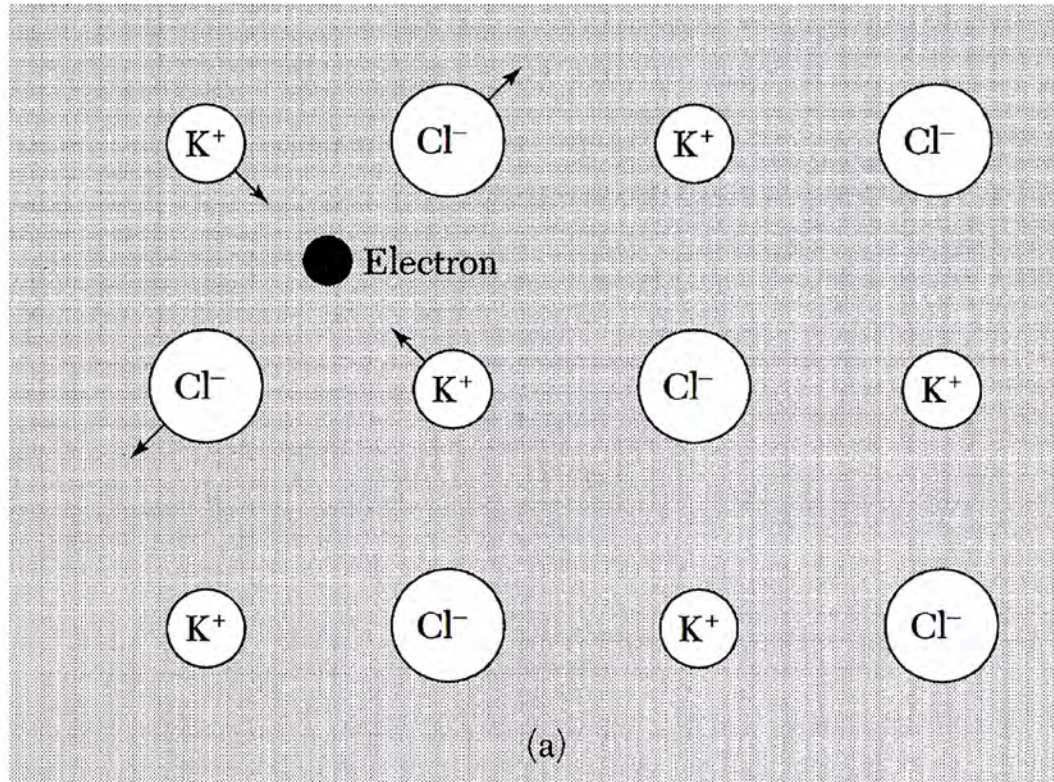
Oberflächenplasmonen



$$k_x(\alpha, \omega) = n(\omega/c) \sin \alpha = k_{\text{op}}(\omega_0)$$

Hunklinger Bild 13.31: Links: Dispersion. Rechts Kretschmann-Geometrie zum Nachweis von Oberflächenplasmonen. Durch die Anregung von Oberflächenplasmonen (dicker Pfeil) wird dem einfallenden Licht sehr effektiv Energie entzogen. Nach V. Temnov und U. Woggon, Physik Journal 9, 45 (2010)

Formation of a polaron



(a) A conduction electron is shown in a rigid lattice of an ionic crystal, KCl.

(Kittel Fig. 14.19)

The forces on the ions adjacent to the electron are shown.

(b) The electron is shown in an elastic or deformable lattice.

The electron plus the associated strain field is called a polaron.

The displacement of the ions increases the effective inertia and, hence, the effective mass of the electron;

in KCl the mass is increased by a factor of 2.5 with respect to the band theory mass in a rigid lattice.

In extreme situations, often with holes, the particle can become selftrapped (localized) in the lattice.

In covalent crystals polaron deformations are small because the forces on the atoms from the electron are weaker than in ionic crystals.

Beispiel für...

e-Phonon-WW

SL, R(T)

Polaronen

Kombination von e^- und Verzerrungsfeld

zB KCl: m_e ca. $\times 2,5$ erhöht bezgl. starrem Gitter

extreme Form: Lokalisierung "self trapping"

Statistische Abschirmung

Störladung $\rightarrow e^-$ verteilen sich neu \rightarrow Feld abgesch.

Poissongl. $-\nabla^2 \phi = \rho / \epsilon_0$

$$\rho = -e (n(\vec{r}) - n_0) = -e \delta n(\vec{r})$$

ohne Störpotential: $\mu_{\uparrow} \underset{T=0}{=} E_F = \frac{\hbar^2}{2m} (3\pi^2 n_0)^{2/3}$

Schwaches Störpotential

$$\delta n(\vec{r}) = -D(E_F) e \phi(\vec{r})$$

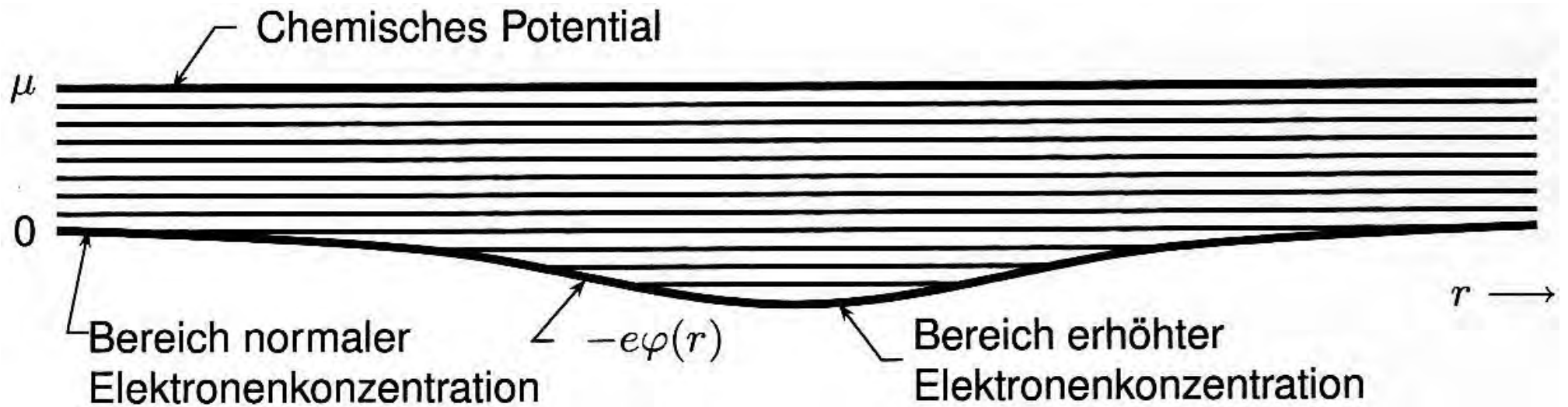


Bild 14.9: Im thermischen und im Diffusionsgleichgewicht ist das chemische Potential konstant. Damit es konstant bleibt, erhöhen wir dort, wo die potentielle Energie klein ist, die Elektronenkonzentration; dort, wo das Potential groß ist, erniedrigen wir sie.

$$\bullet \nabla^2 \phi = -\frac{1}{\epsilon_0} e \delta_n = \frac{1}{\epsilon_0} e^2 D(E_F) \phi(\vec{r})$$

$$D(E_F) = \frac{3}{2} \frac{n_0}{E_F}$$

$$\Rightarrow \nabla^2 \phi = \frac{1}{\lambda^2} \phi ; \quad \frac{1}{\lambda} = \sqrt{\frac{3}{2} \frac{e^2}{\epsilon_0} \frac{n_0}{E_F}} = \sqrt{\frac{e^2}{\epsilon_0} D(E_F)}$$

In Kugelkoordinaten: $\nabla^2 = \frac{d^2}{dr^2} + \frac{2}{r} \frac{d}{dr}$

$$\Rightarrow \left[\phi(r) = \exp\left(-\frac{r}{\lambda}\right) \frac{q}{r} \frac{1}{4\pi\epsilon_0} \right]$$

λ : Thomas-Fermi-Abschirmlänge

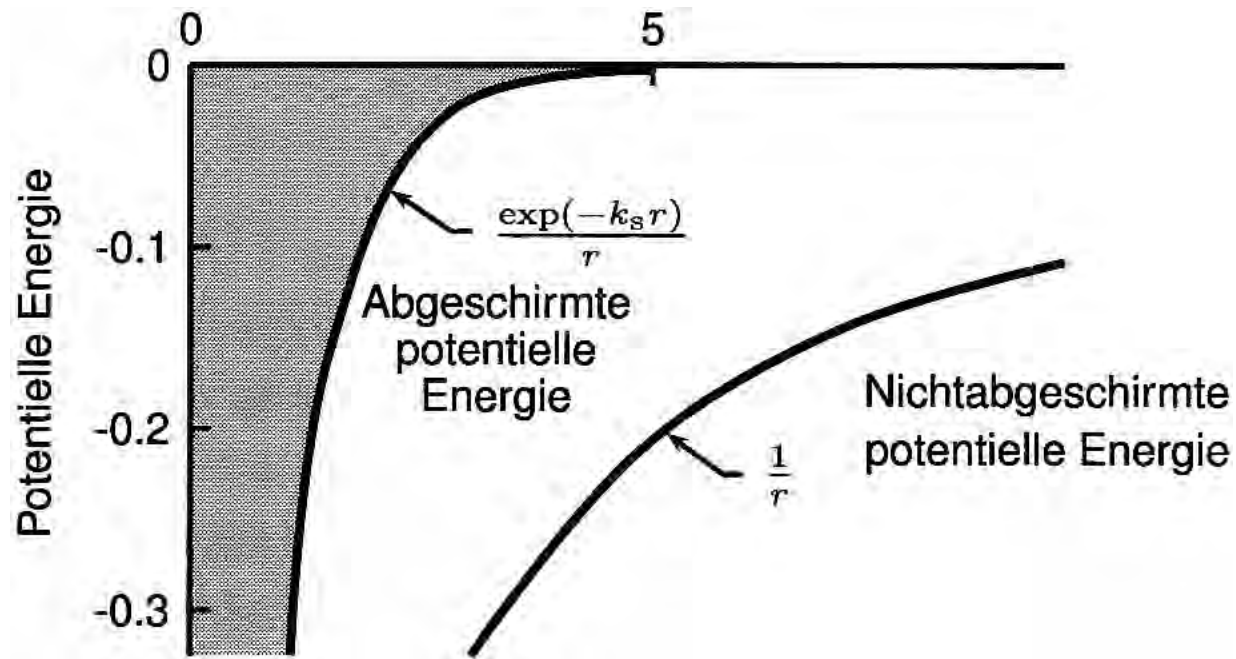


Bild 14.10a: Vergleich des abgeschirmten mit dem nicht abgeschirmten Potential einer positiven Einheitsladung. Die Abschirmlänge k_s^{-1} wurde gleich Eins gesetzt. Für die statische Abschirmwechselwirkung wurde die Thomas-Fermi-Näherung benutzt, die für $K \ll k_F$ gilt. Umfangreiche Rechnungen, in denen alle Wellenvektoren mitgenommen werden, führen zu räumlichen Oszillationen in $2k_F r$, den so genannten **Friedel-Oszillationen**. Sie sind in QTS, Seite 114, dargestellt.

Screening vs Electron density

